

# Relative Entropy Regularized Policy Iteration

Abbas Abdolmaleki, Jost Tobias Springenberg, Jonas Degraeve, Steven Bohez, Yuval Tassa,  
Dan Belov, Nicolas Heess, Martin Riedmiller

DeepMind, London, UK

{aabdolmaleki, springenberg, grave, sbohez, danbelov, heess, riedmiller}@google.com

## 【强化学习 84】RERPI



张楚珩

清华大学 交叉信息院博士在读

3 人赞同了该文章

RERPI 不是官方的简称，个人标记一下，算法全称叫做 Relative Entropy Regularized Policy Iteration。

### 原文传送门

Abdolmaleki, Abbas, et al. "Relative entropy regularized policy iteration." arXiv preprint arXiv:1812.02256 (2018).

### 特色

前一讲做 MPO 那一帮人做的后续工作，思路比较类似，大致有以下两点改进：1) 在 policy evaluation 步骤中，不再使用比较复杂的 Retrace，而是使用更为简单的 TD(0)，事实证明，效果并不会更差；2) 在 non-parametric 的 policy improvement 步骤中，使用一些演化算法的想法（CMA-ES），相比于 MPO 更 robust（比如能够 invariant to rewards scaling）。

### 过程

#### 1. 策略循环框架

总体框架还是考虑一个 policy iteration，包含 policy improvement 和 policy evaluation:

---

#### Algorithm 1 Actor-Critic

---

```
Initialize  $\pi^{(0)}, Q^{\pi^{(-1)}}, k \leftarrow 0$ 
repeat
   $Q^{\pi^{(k)}} \leftarrow \text{PolicyEvaluation}(\pi^{(k)}, Q^{\pi^{(k-1)}})$ 
   $\pi^{(k+1)} \leftarrow \text{PolicyImprovement}(\pi^{(k)}, Q^{\pi^{(k)}})$ 
   $k \leftarrow k + 1$ 
until convergence
```

---

其中 policy evaluation 步骤就是用简单的 TD(0) 作为误差函数：

$$\min_{\phi} \left( r_t + \gamma Q_{\phi'}^{\pi^{(k-1)}}(s_{t+1}, a_{t+1} \sim \pi^{(k-1)}(a|s_{t+1})) - Q_{\phi}^{\pi^{(k)}}(s_t, a_t) \right)^2,$$

## 2. 策略改进

和 MPO 类似，还是分为 E-step 和 M-step，先找到一个 non-parametric 的分布，然后把这个分布泛化到一个策略网络中。policy improvement step 仍然是优化近似的『一步』优化目标

$J(\pi, \pi) = \mathbb{E}_{\pi} [Q^{\pi^0}(s, a)]$ ，即 state 分布还是从原来的轨迹分布中得到，但是 action 的分布从新的策略中得到。然后找到一个 non-parametric 的  $q$  使得  $J(\pi, q) \geq J(\pi, \pi^{(0)})$ 。这里  $\pi^{(0)}$  表示前一轮的旧策略。接下来，把得到的这个 non-parametric 的  $q$  泛化到策略网络中：

$$\pi^{(k+1)} = \operatorname{argmin}_{\pi_{\theta}} \mathbb{E}_{\mu_{\pi}(s)} \left[ \text{KL}(q(a|s) \| \pi_{\theta}(a|s)) \right] \quad (2)$$

先讲一下 E-step。

每一轮从 replay buffer 里面采样样本  $\{s_j\}_{j=1, \dots, K}$ ，然后对于每个样本采样行动  $\{a_i\}_{i=1, \dots, N} \sim \pi^{(0)}(a|s_j)$ ，并且把这些 state-action pair 送到 Q 函数中得到相应的估计值。接下来，我们需要决定这  $NK$  个 state-action pair 的  $q_{ij} = q(a_i|s_j), \forall s_j, a_i$ 。文章提出了使用三种不同的方法来设定  $q_{ij}$ ：

### 使用 CMA-ES

根据每个状态下不同 action 的 Q 估计值的排序，来设定它们对应的采样概率： $q_{ij} \propto \ln(\frac{N+\eta}{\text{rank}(i)})$ ，其中  $\eta$  是一个温度参数，比如 CMA-ES 的算法里面它为 0.5， $\text{rank}(i)$  表示第  $i$  个行动的 Q 估计值在该状态下的所有行动的 Q 估计值的排序，可以看出排序越靠前的行动，设定的下一步选中概率越高。

### 使用指数变换

解如下优化问题：

$$\begin{aligned} q_{ij} &= \operatorname{argmax}_{q(a_i|s_j)} \sum_j^K \sum_i^N q(a_i|s_j) Q^{\pi^{(k)}}(s_j, a_i) \\ \text{s.t. } &\frac{1}{K} \sum_j^K \sum_i^N q(a_i|s_j) \log \frac{q(a_i|s_j)}{\frac{1}{N}} < \epsilon, \quad \forall_j \sum_i^N q(a_i|s_j) \end{aligned}$$

即，不仅要求分布  $q$ （作为一个加权平均的权重）能够最大化在估计的 Q 函数上的加权平均值，还要求它具有较高的 entropy。如果没有后面的约束项，容易看到，分布  $q$  会把权重全部加到最大的那一部分 action 上。上述优化问题有闭式解：

$$q_{ij} = q(a_i, s_j) = \exp \left( Q^{\pi^{(k)}}(s_j, a_i) / \eta \right) / Z(j),$$

where  $Z(j) = \sum_i \exp \left( Q^{\pi^{(k)}}(s_j, a_i) / \eta \right)$ . The temperature  $\eta$  corresponding to the constraint  $\epsilon$  can be found automatically by solving the following convex dual function alongside our policy optimization:

$$\eta = \operatorname{argmin}_{\eta} \eta \epsilon + \eta \sum_j^K \frac{1}{K} \log \left( \sum_i^N \frac{1}{N} \exp \left( \frac{Q(s_j, a_i)}{\eta} \right) \right) \quad \text{知乎 @张楚珩}$$

这其实和前面的 MPO 类似。

### 使用恒等变化

即  $q_{ij} \propto Q^{\pi^{(k)}}(s_j, a_i)$ ，这和史前的 expected policy gradient algorithm 类似。

下面讲一下 M-step，这其实和 MPO 一样，只不过这篇 pape 里面在正文中讲的比较详细，主要的方法还是使用 Lagrangian Relaxation 解如下优化问题

$$\pi^{(k+1)} = \operatorname{argmax}_{\pi_{\theta}} \sum_j^K \sum_i^N q_{ij} \log \pi_{\theta}(a_i | s_j), \quad \text{s.t.} \quad \sum_j^K \frac{1}{K} \text{KL}(\pi^{(k)}(a | s_j) \| \pi_{\theta}(a | s_j)) < \epsilon_{\pi}, \quad (4)$$

即：

$$\max_{\theta} \min_{\alpha > 0} L(\theta, \eta) = \sum_j \sum_i q_{ij} \log \pi_{\theta}(a_i | s_j) + \alpha \left( \epsilon_{\pi} - \sum_j^K \frac{1}{K} \text{KL}(\pi^{(k)}(a | s_j) \| \pi_{\theta}(a | s_j)) \right).$$

由于两个高斯分布 KL 散度能够写成两部分，一部分主要限制均值的变化，一部分主要限制协方差矩阵的变化，因此文章发现，与其直接限制总体 KL 散度的变化  $\epsilon$ ，不如把它拆分为两部分分别限制这两部分的变化，这样可以分别控制探索和利用，即：

$$\begin{aligned} \pi^{(k+1)} &= \operatorname{argmax}_{\mu_{\theta}, \Sigma_{\theta}} \sum_j^K \sum_i^N q_{ij} \log \pi_{\theta}(a_i | s_j; \Sigma = \Sigma^k) + \sum_j^K \sum_i^N q_{ij} \log \pi_{\theta}(a_i | s_j; \mu = \mu^k) \\ \text{s.t. } \epsilon_{\mu} &> \frac{1}{K} \sum_j^K \text{KL}(\pi^{(k)}(a | s_j) \| \pi_{\theta}(a | s_j; \Sigma = \Sigma^k)), \\ \epsilon_{\Sigma} &> \frac{1}{K} \sum_j^K \text{KL}(\pi^{(k)}(a | s_j) \| \pi_{\theta}(a | s_j; \mu = \mu^k)). \end{aligned}$$

知乎 @张楚珩

## 实验

这篇工作测试了很多连续控制的环境，主要包括三大类环境：Parkour suite、DeepMind control suite 和 OpenAI Gym。根据文章给出的结果，个人感觉该算法效果很好。

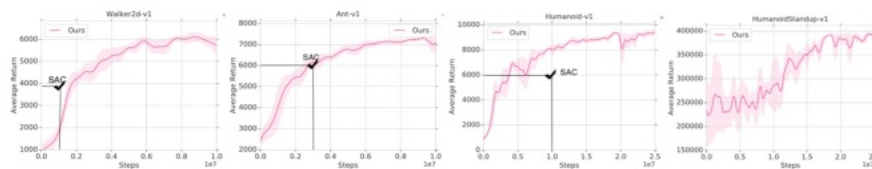


Figure 6: Comparison between our algorithm and SAC on walker, ant and humanoid from OpenAI gym. Check-mark shows the best reported performance of SAC [Haarnoja et al., 2018]. Results show that our method solve the tasks with same hyper parameters as before while achieving considerably better asymptotic performance than SAC with on-par sample efficiency. SAC does not report any result on humanoid-standup. Humanoid-standup is in particular interesting because of its very different reward scale with respect to other environments. Note that our method can also solve humanoid-stand with final return of 4000000 using the same hyper parameters.

发布于 2019-08-03

强化学习 (Reinforcement Learning)

赞同 3

添加评论

分享

喜欢

收藏

...

文章被以下专栏收录



强化学习前沿  
读呀读paper

进入专栏